



LABORATÓRIO NACIONAL  
DE ENGENHARIA CIVIL

DEPARTAMENTO DE GEOTECNIA  
Núcleo de Túneis

Proc. 506/11/16680

## **CARACTERIZAÇÃO EXPERIMENTAL DE UMA BENTONITE CÁLCICA ADITIVADA**

Lisboa • Dezembro de 2007

OAC&T GEOTECNIA

RELATÓRIO 382/2007 – NT



## ÍNDICE DE TEXTO

1.	INTRODUÇÃO .....	1
2.	PROGRAMA DE ENSAIOS .....	3
3.	MATERIAL ENSAIADO .....	4
4.	RESULTADOS DOS ENSAIOS .....	5
4.1.	ANÁLISE GRANULOMÉTRICA.....	5
	EQUIPAMENTO .....	5
	PROCEDIMENTO.....	5
	RESULTADO .....	6
4.2.	MASSA VOLÚMICA DAS PARTÍCULAS.....	7
	PROCEDIMENTO.....	7
	RESULTADO .....	8
4.3.	PERDA AO RUBRO OU PERDA POR CALCINAÇÃO.....	8
	PROCEDIMENTO.....	8
	RESULTADO .....	8
4.4.	TEOR EM MATÉRIA ORGÂNICA .....	9
	PROCEDIMENTO.....	9
4.5.	ANÁLISES QUÍMICA E TEXTURAL .....	10
	EQUIPAMENTO .....	10
	PROCEDIMENTO (Análise textural e EDX) .....	10
	RESULTADOS.....	11
4.6.	DIFRACÇÃO DE RAIOS X .....	14
	PROCEDIMENTO.....	14
	RESULTADOS.....	14
4.7.	CAPACIDADE DE TROCA IÓNICA.....	14
	PROCEDIMENTO.....	14
	RESULTADO .....	15
4.8.	ESPECTROSCOPIA DE ABSORÇÃO ATÓMICA.....	16
	EQUIPAMENTO .....	16
	PROCEDIMENTO.....	17
	RESULTADO .....	17
4.9.	DETERMINAÇÃO DA SUPERFÍCIE ESPECÍFICA PELO MÉTODO BET .....	18
	EQUIPAMENTO .....	18
	PROCEDIMENTO.....	18
	RESULTADO .....	19
4.10.	DETERMINAÇÃO DA SUPERFÍCIE ESPECÍFICA DE ACORDO COM A NORMA NF P 94-06819	19
	PROCEDIMENTO.....	19
	RESULTADO .....	19
	COMPARAÇÃO DE RESULTADOS DA DETERMINAÇÃO DA SUPERFÍCIE ESPECÍFICA .....	20
4.11.	DETERMINAÇÃO DO PH/POTENCIAL REDOX (EH) .....	20
	EQUIPAMENTO OU ACESSÓRIOS .....	20
	PROCEDIMENTO.....	20
	RESULTADO .....	20
4.12.	DETERMINAÇÃO DOS LIMITES DE CONSISTÊNCIA .....	21
	EQUIPAMENTO .....	21
	PROCEDIMENTOS .....	21
	RESULTADOS.....	21
4.13.	ENSAIOS DE EXPANSIBILIDADE .....	22
	EQUIPAMENTO .....	22
	PROCEDIMENTO.....	22
	RESULTADOS.....	23
	AGRADECIMENTOS.....	26
	REFERÊNCIAS BIBLIOGRÁFICAS.....	27



## ÍNDICE DE TABELAS

- Tabela 1- Ensaios realizados
- Tabela 2- Distribuição granulométrica da bentonite
- Tabela 3- Resultados do ensaio de perda ao rubro
- Tabela 4- Resultados da determinação do teor em matéria orgânica
- Tabela 5- Composição química (elementos maiores)
- Tabela 6- Composição em minerais
- Tabela 7- Quantidade de catiões na amostra
- Tabela 8- Limites de liquidez e de plasticidade



## ÍNDICE DE FIGURAS

Figura 1 – Amostra após recepção

Figura 2 – Imagem do equipamento [<http://www.malvern.com>]

Figura 3 - Fase de calibração do equipamento Mastersizer 2000 utilizado no ensaio

Figura 4 – Curva granulométrica da bentonite sódica

Figura 5 - Aspecto da amostra ao longo da sequência de ensaio

Figura 6 - Vista geral do microscópio Jeol JSM-T330A

Figura 7 – Execução de agregados orientados

Figura 8 - Banho a ouro da amostra

Figura 9 – Composição comparativa em óxidos

Figura 10 – Imagem ampliada da bentonite (amostra integral), após moagem

Figura 11 – Imagem ampliada da bentonite (amostra integral), após moagem

Figura 12 - Início da lavagem da amostra com álcool etílico

Figura 13 - Destilação da amostra

Figura 14 - Titulação do destilado através da adição de HCL

Figura 15 - Equipamento de espectrometria utilizado

Figura 16 - Quantidade de catiões na amostra

Figura 17 – Amostras saturadas no final do ensaio

Figura 18 - Vista geral do equipamento de ensaio

Figura 19 – Posicionamento da bentonite na Carta de Plasticidade

Figura 20 – Aspecto do aparelho com a alonga em posição

Figura 21 – Aspecto da montagem experimental de ambos os ensaios

Figura 22 – Curvas cronológicas de expansão

Figura 23 – Curvas cronológicas de expansão relativa



## ÍNDICE DE ANEXOS

Anexo – Boletins de Ensaio



# 1. INTRODUÇÃO

As bentonites representam um elemento fundamental na prática corrente em Geotecnia. A sua utilização, mesmo se em pequena quantidade, no melhoramento de terrenos tem vindo a tornar-se corrente, porque vantajosa, na preparação de caldas de diversas naturezas.

A sua utilização criteriosa – quer do ponto de vista do respectivo desempenho, quer do ponto de vista financeiro e, ainda, do ponto de vista ambiental – depende fundamentalmente da adequação das suas características ao papel para elas idealizado.

A avaliação da sua adequação é, no entanto, frequentemente dificultada pela exiguidade de informação técnica disponibilizada sobre as bentonites comerciais.

Antevê-se que o processo de selecção, em primeiro lugar, da composição das caldas e, depois, dos parâmetros vigentes na sua aplicação, evolua tecnologicamente, por forma a que a caracterização prévia da bentonite seja muito vantajosa.

Neste Relatório apresentam-se os resultados da caracterização duma bentonite cárnea aditivada, industrialmente conhecida por “Bentonite 2S”, proveniente de Beijing, na China. Esta bentonite era fornecida pela firma A. Agostinho, Químicos e Minerais Unipessoal, Lda. Esta amostra foi recolhida aquando da execução da Barragem de St<sup>a</sup> Justa e apresentava-se num saco de 50 kg. Não se pretende analisar nem fundamentar os métodos experimentais utilizados na caracterização desta bentonite, o que será efectuado em Relatório posterior.

Naquela caracterização seguiram-se diversos critérios mineralógicos e físico-químicos através de um programa laboratorial amplo. Este programa foi idealizado como primeiro passo para futuros trabalhos de caracterização laboratorial e de campo de caldas de cimento-bentonite, sob os pontos de vista da avaliação dos ganhos nas propriedades hidráulicas e mecânicas dos terrenos e do controle de técnicas de execução.

O programa de ensaios só foi possível graças à participação conjunta de diversos Laboratórios, de que se destacam especialmente os exteriores ao LNEC:

- Laboratório do Departamento de Ciências da Terra (DCT) da Faculdade de Ciências e Tecnologia da Universidade Nova de Lisboa (FCT/UNL), com a colaboração do Engenheiro Carlos Galhano;

- Laboratório do Departamento de Geologia da Faculdade de Ciências da Universidade de Lisboa, com a colaboração da Professora Isabel Moitinho de Almeida e da técnica Sandra.

- Laboratório de Caracterização de Geomateriais do Departamento de Geotecnia do LNEC;
- Laboratório de Geotecnia Ambiental do Departamento de Geotecnia do LNEC;
- Laboratório de Rochas Ornamentais do Departamento de Materiais do LNEC;
- Laboratório de Ensaios de Materiais e Revestimentos Inorgânicos do Departamento de Materiais do LNEC;
- Laboratório de Ensaios de Betões e Cimentos do Departamento de Materiais do LNEC;

## 2. PROGRAMA DE ENSAIOS

O programa de ensaios cujos resultados se apresentam, visou a caracterização textural, química e mineralógica da bentonite. Desse programa constam os ensaios apresentados na Tabela 1, na qual se listam ainda as normas utilizadas e os respectivos objectivos.

**Tabela 1 - Ensaios realizados**

Ensaios	Norma(s) utilizada(s)	Resultado
Análise Granulométrica	*	Distribuição granulométrica.
Massa volúmica das partículas	LNEC E 64 -1979 NP 83 - 1965	Massa volúmica das partículas.
Microscópio Electrónico de Varrimento (EDS)	*	Análise Textural e Análise Química
Difracção de raios-X (DRX)	*	Quantificação percentual dos minerais presentes.
Perda ao Rubro	*	Percentagem em carbonatos presentes.
Matéria orgânica	*	Teor em matéria orgânica
Ensaios de pH	*	pH / Potencial Redox
Limites de Consistência	LNEC NP 143 -1969 BS 1377:Part2:1990	Limite de Liquidez Limite de Plasticidade Índice de Plasticidade
Expansibilidade	LNEC E 200 - 1967	Variação de volume por absorção de água.
Superfície Específica por Absorção de Azul Metílico	*	Obtenção da Superfície Específica.
Superfície Específica pelo Método BET	*	
Superfície Específica pela Norma Francesa	NF P 94-068	
Capacidade de Troca Iônica por Acetato de Amónio.	*	Capacidade de troca iônica.
Espectrometria de Absorção Atómica	*	Saber quais os iões (catiões) mais trocados e respectiva quantidade.

\* Procedimentos internos inerentes aos equipamentos utilizados, ensaios comuns para solos desta natureza

### 3. MATERIAL ENSAIADO

Conforme mencionado, neste Relatório apresentam-se os resultados da caracterização laboratorial duma bentonite cárcea comercial, “Bentonite 2S”, proveniente de Beijing, na China. Esta bentonite era fornecida, à data da recolha da amostra, pela firma A. Agostinho, Químicos e Minerais Unipessoal, Lda.

A fórmula química empírica das bentonites é  $\text{Na}_{0.2}\text{Ca}_{0.1}\text{Al}_2\text{Si}_4\text{O}_{10}(\text{OH})_2(\text{H}_2\text{O})_{10}$ . Na Figura 1 apresenta-se uma fotografia de parte da amostra após a sua recepção. Trata-se de uma bentonite de cor branca.

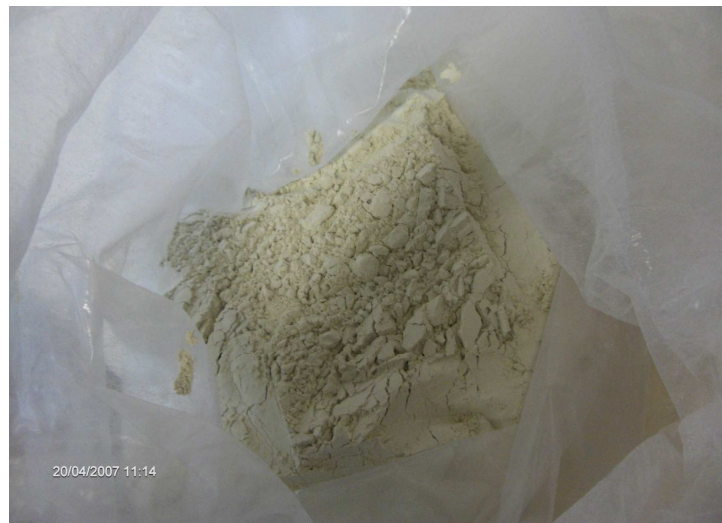


Figura 1 – Amostra após recepção

## 4. RESULTADOS DOS ENSAIOS

### 4.1. ANÁLISE GRANULOMÉTRICA

Após diversas tentativas de análise granulométrica da bentonite por sedimentação baseada na lei de Stokes, foi concluído não ser viável o recurso a este método, dada, por um lado, a dificuldade de dispersão da amostra e da consequente dificuldade da sua estabilização para aplicação daquela lei e, por outro, a reduzida dimensão típica das partículas da amostra. De facto, por a amostra se apresentar já moída e as dimensões das partículas serem maioritariamente inferiores a 2 µm, optou-se pelo recurso a uma técnica de ensaio por difracção de raios laser.

Este ensaio foi efectuado na Faculdade de Ciências de Lisboa, no Departamento de Geologia.

#### EQUIPAMENTO

Recorreu-se ao equipamento Mastersizer 2000 da Malvern Instruments, com uma unidade de dispersão via húmida, o Hydro 2000MU (cf. Figura 2). Este equipamento permite a caracterização granulométrica de suspensões de partículas com dimensão entre 20 nm e 2000 µm com base na aplicação da teoria da difracção de Mie [Kortum, 1969], segundo a Norma ISO13320-1 (1999).



Figura 2 – Imagem do equipamento [<http://www.malvern.com>]

#### PROCEDIMENTO

Em primeiro lugar, preparou-se uma solução de 0,6 g de bentonite em água desionizada, a qual foi agitada através de ultra-sons. Com o objectivo de desflocular a solução

foi-lhe adicionado hexametafosfato de sódio, após o que se procedeu de novo à sua agitação. A solução permaneceu em repouso durante 24 h, previamente ao ensaio.

Adicionou-se num copo de vidro uma quantidade de água desionizada entre 700 a 800 ml para calibração do equipamento, conseguida pela difracção de raios laser na água desionizada (cf. Figura 3). De seguida, a solução foi colocada no copo para ensaio. Somente uma reduzida parte da amostra foi efectivamente analisada, após ser sugada para o interior de uma lamela na qual ocorre a difracção.

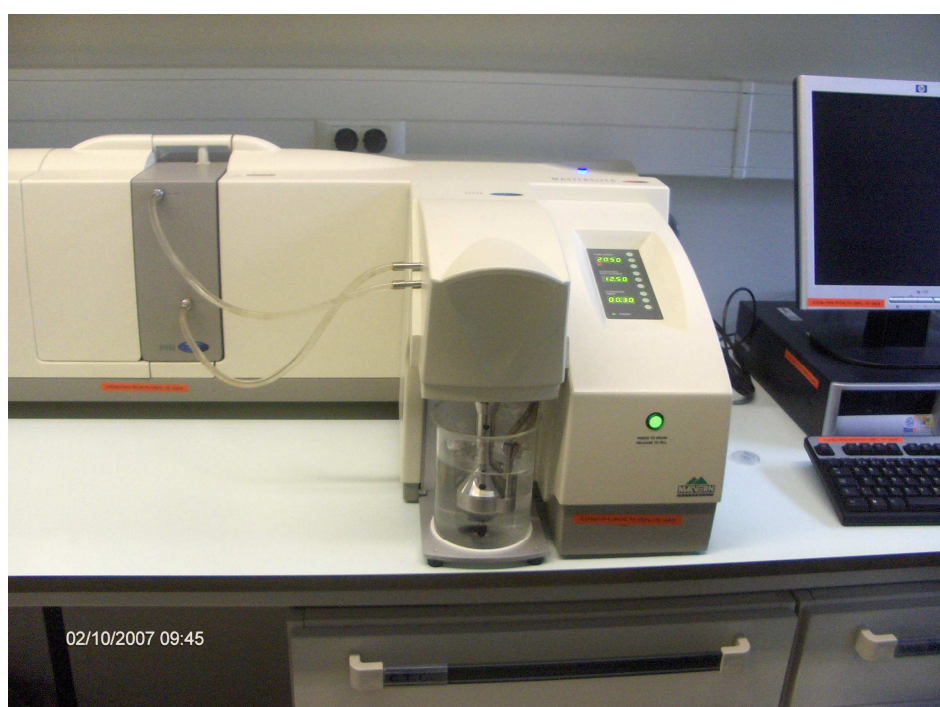


Figura 3 - Fase de calibração do equipamento Mastersizer 2000 utilizado no ensaio

## RESULTADO

O resultado directo do ensaio é a média (cf. Figura 4) de cinco histogramas de dimensões das partículas que se apresentam no Anexo. O cálculo da curva cumulativa de frequências relativas constitui o resultado derivado do ensaio, isto é, a curva de distribuição granulométrica. As dimensões encontradas situam-se entre 0,5  $\mu\text{m}$  e 800  $\mu\text{m}$ . Os diâmetros notáveis da bentonite são os seguintes:  $D_{10}=0,9 \mu\text{m}$ ,  $D_{30}=2,4 \mu\text{m}$ ,  $D_{50}=5,3 \mu\text{m}$  e  $D_{60}=8,6 \mu\text{m}$ . A incerteza máxima na estimativa do diâmetro mediano é de 1% (isto é, 0,053  $\mu\text{m}$ ), de acordo com o Manual de Instruções do dispositivo.

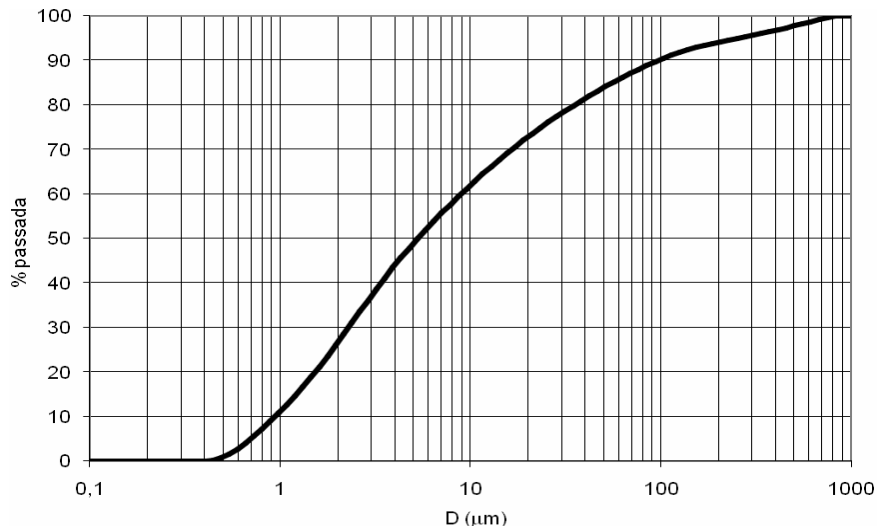


Figura 4 – Curva granulométrica da bentonite cáriza

As percentagens acumuladas correspondentes aos diâmetros definidos na Especificação LNEC E 196 - 1966, “Análise Granulométrica de Solos”, são apresentadas na Tabela seguinte.

**Tabela 2 - Distribuição granulométrica da bentonite**

Dimensão (mm)	% Passada	Dimensão (mm)	% Passada
0,001	0	0,105 (#140)	62,852
0,003	0	0,177 (#80)	72,121
0,007	5,557	0,250 (#60)	76,157
0,01	12,698	0,420 (#40)	82,033
0,014	18,878	0,841 (#20)	88,842
0,024	31,093	2,0 (#10)	94,183
0,038	43,47	4,76 (#4)	97,756
0,054	49,97	9,52 (#3/8)"	100
0,074 (#200)	57,637		

Apresenta-se no Anexo o resultado directo de cada determinação e o histograma médio obtido.

## 4.2. MASSA VOLÚMICA DAS PARTÍCULAS

### PROCEDIMENTO

Recorreu-se inicialmente à norma NP-83 de 1965, mas os resultados assim obtidos suscitaram dúvidas devido à grande discrepância com os valores das densidades correntemente obtidos para estes materiais. Optou-se, por isso, por recorrer a um método alternativo. O método escolhido foi o da especificação LNEC “E 64-1979 – Cimentos – Determinação da Massa Volúmica”. Este ensaio foi realizado no Laboratório de Ensaios de Betões e Cimentos do Departamento de Materiais do LNEC. Na aplicação da Especificação LNEC E 64-1979, importa referir que o líquido auxiliar utilizado foi o petróleo.

## RESULTADO

O resultado obtido foi 2,43 g/cm<sup>3</sup> para esta amostra. Apresentam-se no Anexo os respectivos boletins de ensaio.

### **4.3. PERDA AO RUBRO OU PERDA POR CALCINAÇÃO**

Este ensaio foi realizado no Laboratório do Departamento de Ciências da Terra da FCT/UNL.

## PROCEDIMENTO

A massa da amostra ensaiada foi de 12 g, repartida por três cadiinhos. Seguiu-se o procedimento interno do Laboratório, segundo o qual as amostras foram previamente secas à temperatura de 110° C e, após pesagem, submetidas à temperatura de 1000° C durante três horas e posteriormente arrefecidas para determinação da perda de massa.

## RESULTADO

Na Tabela 3 apresentam-se os resultados relativos a cada cadiinho. O resultado do ensaio é o valor médio das determinações de cada cadiinho, calculadas através da equação:

$$P.R.(%) = \frac{\text{Massa}_{110^\circ\text{C}} - \text{Massa}_{1000^\circ\text{C}}}{\text{Massa}_{1000^\circ\text{C}} - \text{Tara}} \times 100$$

O valor obtido de 6,5% (cf. Tabela 3) representa, em conjunto, o teor em carbonatos, o teor em matéria orgânica e a água intercristalina presentes na amostra. Na Figura 5 pode ser observada a evolução do material entre o estado original e o estado final, após a perda ao rubro.

**Tabela 3 – Resultados do ensaio de perda ao rubro**

Cadiinhos nº	Tara (g)	Massa a 110°(g)	Massa a 1000° (g)	Perda ao Rubro (%P.R.)
V	29,317	40,073	39,425	6,408
1	22,166	32,823	32,181	6,411
A4	56,628	67,397	66,735	6,554
Valor médio:				6,5

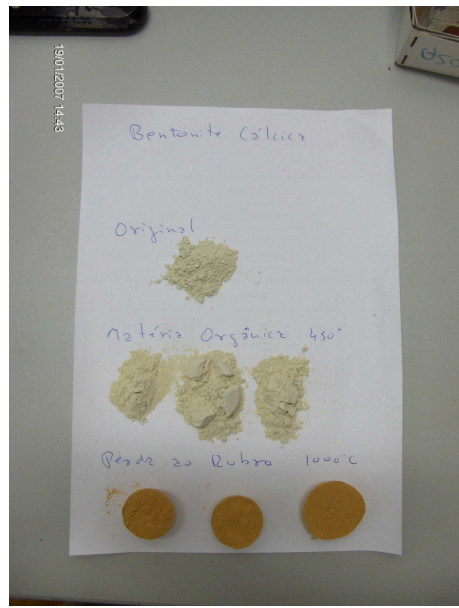


Figura 5 - Aspecto da amostra ao longo da sequência de ensaio

#### **4.4. TEOR EM MATÉRIA ORGÂNICA**

##### **PROCEDIMENTO**

A metodologia utilizada neste ensaio foi o método da queima. O procedimento deste ensaio é idêntico ao da determinação por perda ao rubro, pelo que apenas se referirá aqui somente o que é supletivo neste ensaio.

Resumidamente, após a secagem de 12 g de bentonite a 110° C e sua pesagem registraram-se os valores individuais dos cadinhos, colocando-os numa mufla regulada para a temperatura de 450° C. Após permanência de três horas sob esta temperatura seguiu-se um procedimento equivalente ao da perda ao rubro, nesta fase.

**Tabela 4 – Resultados da determinação do teor em matéria orgânica**

Cadinho	Tara (g)	Massa a 110°(g)	Massa a 450° (g)	Massa a 110°- Tara	Massa a 450°-Tara	Matéria Orgânica	% Matéria Orgânica
B1	33,218	44,204	44,113	10,986	10,895	0,091	0,828
51	26,715	37,414	37,325	10,699	10,610	0,089	0,832
12	37,36	48,047	47,966	10,687	10,606	0,081	0,758
							Valor médio : 0,8

O valor do Teor em Matéria Orgânica é dado pela seguinte expressão:

$$M.O(\%) = \frac{\text{Massa}_{450^\circ\text{C}}}{\text{Massa}_{110^\circ\text{C}}} \times 100$$

O Teor em Matéria Orgânica presente nesta bentonite é insignificante, aproximadamente 0,8%.

Conforme se pode observar na Figura 5, a amostra, após ter sido sujeita a uma temperatura de 450 °C (para obtenção da matéria orgânica), apresenta uma cor mais intensa que a amostra original e, após ter sido submetida a 1000 °C (obtenção da perda ao rubro), apresenta uma cor muito mais escura devido à sua calcinação.

#### **4.5. ANÁLISES QUÍMICA E TEXTURAL**

Este ensaio foi realizado no Laboratório do Departamento de Ciências da Terra da FCT/UNL.

#### **EQUIPAMENTO**

Foi utilizado um microscópio electrónico de varrimento (Jeol JSM-T330A, incluindo computador com software incorporado) para a realização da análise textural através de ampliação de imagem e, ainda, efectuar a análise química por energia dispersiva de raios-X, EDX. Trata-se de um equipamento capaz de produzir imagens de alta ampliação (até 300.000 vezes) com resolução  $\pm 0.01\%$  (cf. Figura 6). O EDX é um acessório essencial no estudo de caracterização microscópica de materiais. Permite a análise química de elementos maiores, e obter o teor e o tipo de óxidos constituintes de uma amostra.

Para efectuar o banho a ouro da amostra foi utilizada uma unidade Polaron Equipment LTD, SEM coating unit E5000 (cf. Figura 9).



Figura 6 - Vista geral do microscópio Jeol JSM-T330A

#### **PROCEDIMENTO (ANÁLISE TEXTURAL E EDX)**

Estes ensaios foram efectuados de duas formas distintas. Na primeira, utilizou-se a amostra integral e, na outra, utilizou-se a fracção mais fina através da preparação de uma lâmina delgada orientada.

Em primeiro lugar, para efectuar uma observação de uma amostra no microscópio de varrimento houve que previamente preparar as amostras a analisar. Esta preparação pode ser conseguida em lâminas (cf. Figura 7) ou no estado sólido (cf. Figura 8). No primeiro caso, quer a visualização quer a análise do EDX, são referentes apenas à fracção fina da amostra ( $< 2 \mu\text{m}$ ).

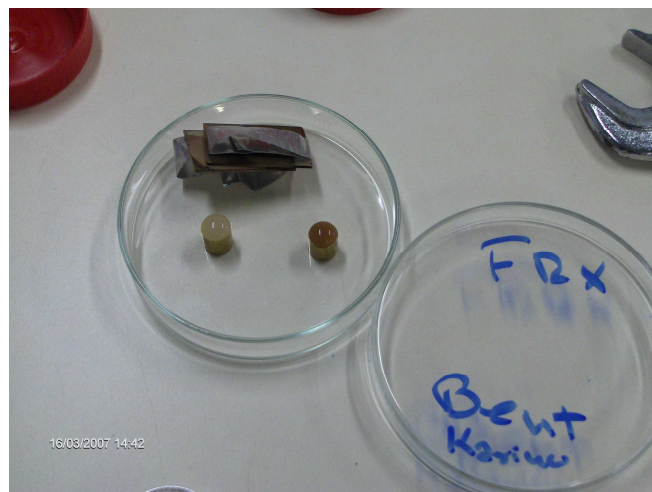


Figura 7 – Execução de agregados orientados

Antes de se iniciar a visualização/análise microscópica, a amostra foi banhada em ouro (Au) para obtenção de imagens com melhor definição (cf. Figura 8).



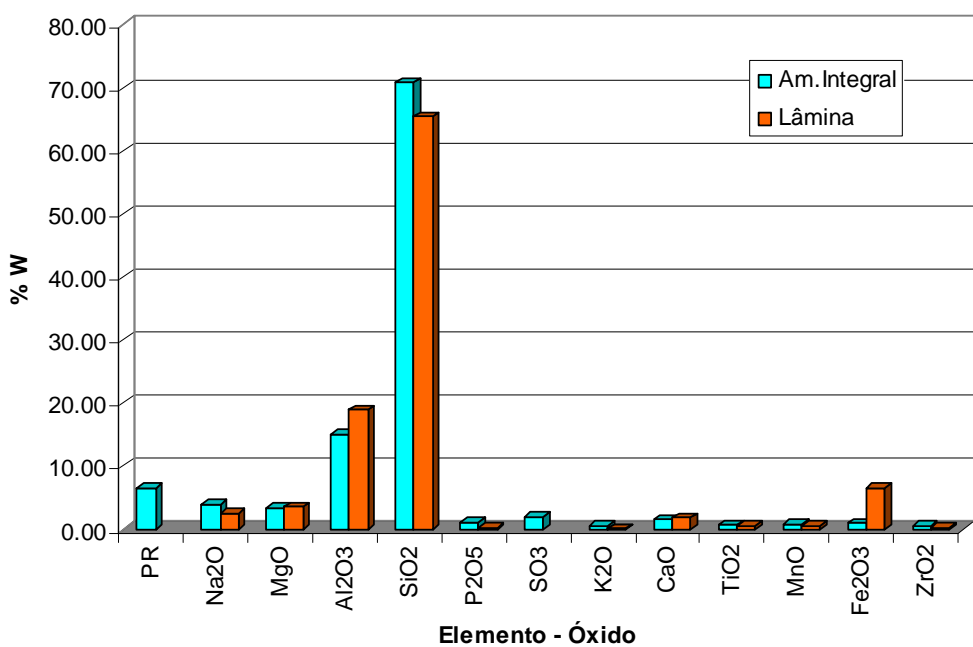
Figura 8 - Banho a ouro da amostra

## RESULTADOS

A análise química dos elementos maiores, efectuada com a amostra integral e com a preparação de agregados orientados, conduziu às composições listadas na Tabela 5 e apresentadas na Figura 9.

**Tabela 5 – Composição química (elementos maiores)**

Fórmula	Am. Geral	Lâmina
	Ox%	
PR	6,5	-
Na <sub>2</sub> O	3,62	2,48
MgO	3,13	3,52
Al <sub>2</sub> O <sub>3</sub>	14	18,90
SiO <sub>2</sub>	66,18	65,35
P <sub>2</sub> O <sub>5</sub>	1,01	0,19
SO <sub>3</sub>	1,72	-
K <sub>2</sub> O	0,37	0,09
CaO	1,36	1,76
TiO <sub>2</sub>	0,58	0,47
MnO	0,65	0,51
Fe <sub>2</sub> O <sub>3</sub>	0,81	6,49
ZrO <sub>2</sub>	0,5	0,23
Somatório	100,4	100,00



**Figura 9 – Composição comparativa em óxidos**

Na amostra integral verifica-se que em termos de elementos maiores nela presentes os mais abundantes são o SiO<sub>2</sub>, o Al<sub>2</sub>O<sub>3</sub>, o Fe<sub>2</sub>O<sub>3</sub>, o MgO e o Na<sub>2</sub>O. Verifica-se ainda, que a percentagem de sódio presente na amostra é superior à de cálcio, confirmando-se, assim, tratar-se de uma bentonite cárlica, aditivada com sódio. Da análise da fração fina (lâmina), constata-se que os elementos maiores presentes em maior abundância são o SiO<sub>2</sub>, o Al<sub>2</sub>O<sub>3</sub>, o

$\text{Fe}_2\text{O}_3$ , o  $\text{MgO}$  e o  $\text{Na}_2\text{O}$ . Nesta fracção, a preponderância dos óxidos de sódio relativamente aos óxidos de cálcio é praticamente a idêntica.

Pela análise das imagens obtidas pelo microscópio de varrimento a grande ampliação, verificamos que esta amostra apresenta uma textura homogénea, intermédia entre alveolar e foliada. Trata-se de uma textura típica das bentonites, em forma de flocos.

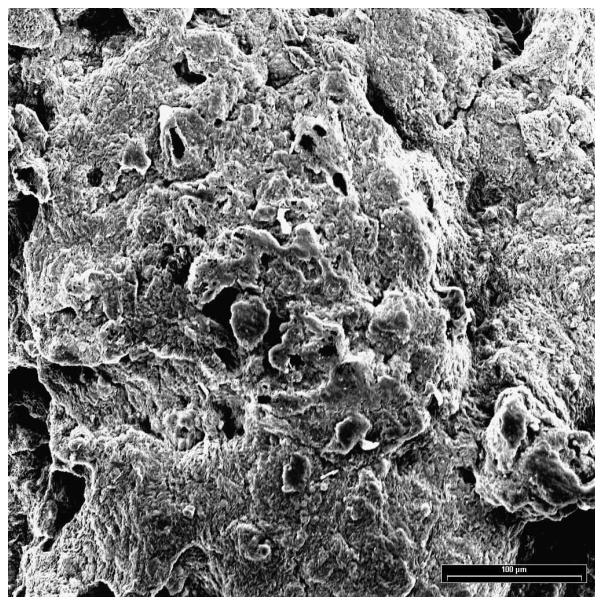


Figura 10 – Imagem ampliada da bentonite (amostra integral), após moagem.

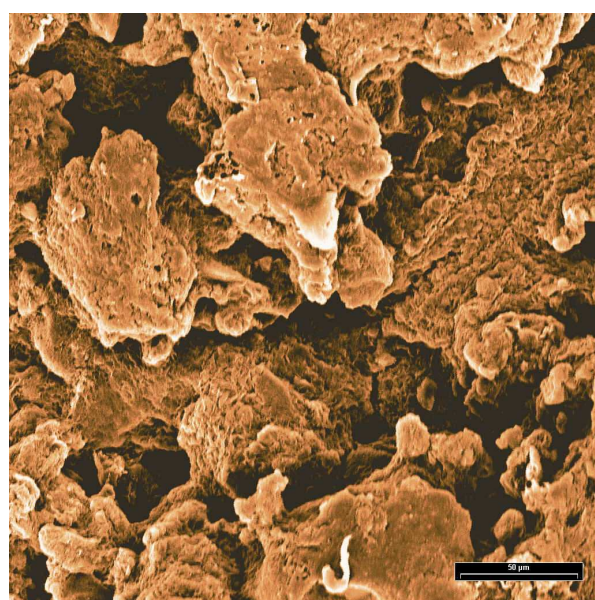


Figura 11 – Imagem ampliada da bentonite (amostra integral), após moagem

## **4.6. DIFRACÇÃO DE RAIOS X**

Estes ensaios foram realizados no Laboratório de Ensaios de Materiais e Revestimentos Inorgânicos do Departamento de Materiais do LNEC e no Laboratório do Departamento de Geologia da FCL.

### **PROCEDIMENTO**

Como descrito no boletim de ensaio incluído no Anexo.

### **RESULTADOS**

Da análise dos difractogramas, obtiveram-se os resultados constantes na Tabela 6. Verifica-se que o mineral com maior representatividade na amostra pertence ao grupo das Esmectites (possivelmente Montmorillonite), seguindo-se a Anórtite e a Aloisite.

**Tabela 6 – Composição em minerais**

Bentonite Cálcica Aditivada				
Mineral	Área (cm <sup>2</sup> )	Poder Reflector	Área corrigida (Área/Poder Reflector)	% de Mineral presente
Esmectite(E)	2,3	1	2,300	71,791
Aloisite	0,09	0,4	0,225	7,023
Anórtite (A n)	0,795	2	0,398	12,407
Quartzo (Q)	0,1725	2	0,086	2,692
Calcite ( C )	0,06	1	0,060	1,873
Cristobalite (Cr)	0,27	2	0,135	4,214
Área total =			3,204	100

## **4.7. CAPACIDADE DE TROCA IÓNICA**

Este ensaio foi realizado no Departamento de Ciências da Terra da FCT/UNL.

### **PROCEDIMENTO**

Pesou-se 10 g de amostra e deixou-se saturar durante 24 h (mínimo) em acetato de amónio a 1N na quantidade de 200 ml, num copo de 300 ou 400 ml. A amostra foi misturada por diversas vezes ao longo do tempo de saturação. Colocou-se a amostra num funil de decantação, previamente revestido com papel de filtro MN64d e diâmetro de 12,5 cm.

Introduziu-se a ponta do funil numa rolha própria de vedação dum Erlenmeyer de sucção (ou frasco de Bucher) ligado a uma bomba. Humeceu-se o papel de filtro com álcool e colocou-se a amostra sobre o papel e iniciou-se a lavagem com álcool (cf. Figura 12).

Foram recolhidas algumas gotas para uma pequena proveta e adicionadas umas gotas do reagente de Nessler. Após o produto da lavagem ter apresentado uma cor amarela clara translúcida (a cor do reagente) deu-se por terminada a lavagem da amostra.

Seguidamente, colocou-se cuidadosamente, de forma a não haver perdas, a amostra e o papel de filtro dentro do balão de destilação de 1000 ml. Adicionou-se 2 g de Óxido de Magnésio ( $MgO$ ) (com máximo de 0,001% de  $SO_2$ ) e 200 ml de água destilada.

Colocou-se 50 ml de Ácido Bórico e 4 ou 5 gotas de indicador verde de Bromocresol 0,1% num frasco Erlenmeyer de 250 ml. Montou-se o sistema de destilação (cf. Figura 15), ficando o balão de destilação ligado à serpentina por um cotovelo de vidro. Montou-se, na outra extremidade, uma saída de bico em vidro que foi introduzida no frasco Erlenmeyer.

Após ter-se atingido 150 ml de destilado, levou-se o frasco Erlenmeyer a uma bureta cheia de HCl e iniciou-se a titulação do destilado (vidé Figura 16), leu-se e registrou-se o valor inicial, identificou-se o instante de mudança da cor de azul para verde, designado por ponto de viragem, e registrou-se a quantidade em HCl recolhida no frasco Erlenmeyer. Esta quantidade é numericamente igual ao valor de CTC expresso em meq/100 g.

## RESULTADO

O CTC médio obtido para esta amostra foi de 41,8 meq/100g.



Figura 12 - Início da lavagem da amostra com álcool etílico



Figura 13 - Destilação da amostra



Figura 14 - Titulação do destilado através da adição de HCl

#### **4.8. ESPECTROSCOPIA DE ABSORÇÃO ATÓMICA**

Este ensaio foi realizado no Laboratório do Departamento de Ciências da Terra da FCT/UNL.

#### **EQUIPAMENTO**

Foi utilizado um espectroscópio AAnalyst 300 da PerkinElmer Instruments (cf. Figura 15) acoplado a um computador pessoal com software específico.



Figura 15 - Equipamento de espectrometria utilizado

## PROCEDIMENTO

O objecto do ensaio foi o produto da lavagem da bentonite com álcool. Colocou-se o produto da lavagem na estufa a 110°C até evaporar todo o álcool. Após a evaporação ao resíduo resultante adicionou-se água destilada para a diluição deste.

Após a calibração do equipamento (recta padrão do elemento a ensaiar), iniciou-se a análise da amostra. Assim, obteve-se a quantidade dos catiões (iões) trocados no ensaio de CTC anteriormente realizado.

## RESULTADO

A quantidade (expressa em ppm) dos iões (catiões) trocados nesta amostra é representada na Tabela 7 e na Figura 16.

Tabela 7 – Quantidade de catiões na amostra

Catião	ppm
Si	15,45
Ca	65,64
Al	4,54
Mg	38,75
Na	< 0,01

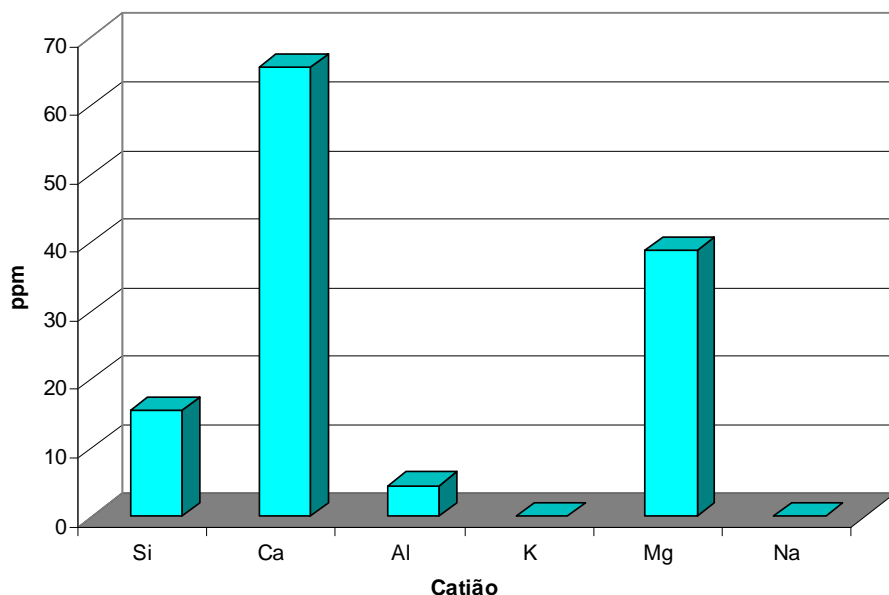


Figura 16 - Quantidade de catiões na amostra

#### **4.9. DETERMINAÇÃO DA SUPERFÍCIE ESPECÍFICA PELO MÉTODO BET**

Este ensaio foi realizado no Laboratório de Ensaio de Rochas Ornamentais do Departamento de Materiais do LNEC.

#### **EQUIPAMENTO**

Foi utilizado um Equipamento BET (AUTOSORB-1) conectado a um computador com software específico (vidé Figura 18).

#### **PROCEDIMENTO**

Em primeiro lugar, secou-se a amostra e tomou-se 1 g de material o qual foi colocado no porta-amostra para aplicação de vácuo. Após a estabilização desta etapa, que nesta amostra foi morosa (possivelmente devido à elevada porosidade da amostra), foi então iniciada a adsorção de azoto líquido.



Figura 18 - Vista geral do equipamento de ensaio

## RESULTADO

O valor médio da superfície específica obtido foi de 33,5 m<sup>2</sup>/g, como se documenta no boletim de ensaio apresentado no Anexo.

### **4.10. DETERMINAÇÃO DA SUPERFÍCIE ESPECÍFICA DE ACORDO COM A NORMA NF P 94-068**

Esta determinação foi realizada no Laboratório de Geotecnia Ambiental do Departamento de Geotecnia do LNEC.

## PROCEDIMENTO

As condições de ensaio e procedimentos estão descritos na Norma NF P 94-068.

## RESULTADO

Conforme o boletim de ensaio apresentado em Anexo, obteve-se o valor de Superfície Específica de 688 m<sup>2</sup>/g de acordo com a expressão

$$SE = 20,93 \times VBS \text{ (m}^2 \text{/ g)}$$

onde VBS representa o valor de azul metileno do solo.

## COMPARAÇÃO DE RESULTADOS DA DETERMINAÇÃO DA SUPERFÍCIE ESPECÍFICA

O cálculo da SE pelos dois métodos apresenta contraste significativo. Tal discrepancia será alvo de interpretação num Relatório subsequente relativo à análise das metodologias experimentais.

### **4.11. DETERMINAÇÃO DO pH/POTENCIAL REDOX (EH)**

Este ensaio foi realizado no Laboratório do Departamento de Ciências da Terra da FCT/UNL.

#### EQUIPAMENTO OU ACESSÓRIOS

Um agitador mecânico, um eléctrodo combinado de pH e registador de pH, e soluções padrão com pH conhecido para calibração do medidor de pH.

#### PROCEDIMENTO

O pH foi medido com um aparelho Crison-Hana (HI 8014) com a capacidade de medição do Potencial Redox, calibrado com soluções-padrão de valores de pH de 4,0 e 7,2. A temperatura ambiente era de 29 °C.

Em primeiro lugar, adicionou-se num copo de 100 ml de água desionizada e 10 g de bentonite previamente seca na estufa. A suspensão formada foi bem agitada durante alguns segundos. Realça-se que se permitiu a hidratação da amostra durante pelo menos uma semana e, só depois, se efectuou a leitura do pH.

Finda a hidratação, a amostra foi de novo agitada fortemente e deixada repousar durante poucos segundos, após o que o eléctrodo de vidro foi introduzido na suspensão para leitura do valor do pH.

#### RESULTADO

O pH obtido para esta amostra foi de 10,31 e o seu Eh foi de -218,7 mV. Estes resultados correspondem à média de várias leituras.

## **4.12. DETERMINAÇÃO DOS LIMITES DE CONSISTÊNCIA**

Estes ensaios foram realizados no Laboratório de Caracterização de Geomateriais do Departamento de Geotecnia do LNEC.

### **EQUIPAMENTO**

Foram utilizados a concha de Casagrande e o cone penetrômetro (“fall cone”).

### **PROCEDIMENTOS**

Os procedimentos seguidos nestes ensaios foram os estabelecidos na Norma LNEC NP-143 de 1969 e, no que concerne a determinação do limite de liquidez pelo método com recurso ao cone penetrômetro (“fall cone test”), na Norma BS 1377:Part 2:1990.

### **RESULTADOS**

Na Tabela 8 apresentam-se os resultados obtidos através da utilização das duas normas. Por sua vez, na Figura 19 representam-se os resultados obtidos, na Carta de Plasticidade dos solos finos.

**TABELA 8 – Limites de liquidez e de plasticidade**

NORMA	LL (%)	LP (%)	IP (%)
LNEC NP-143	655	114,3	540,7
BS 1377:Part 2:1990	668,9		554,6

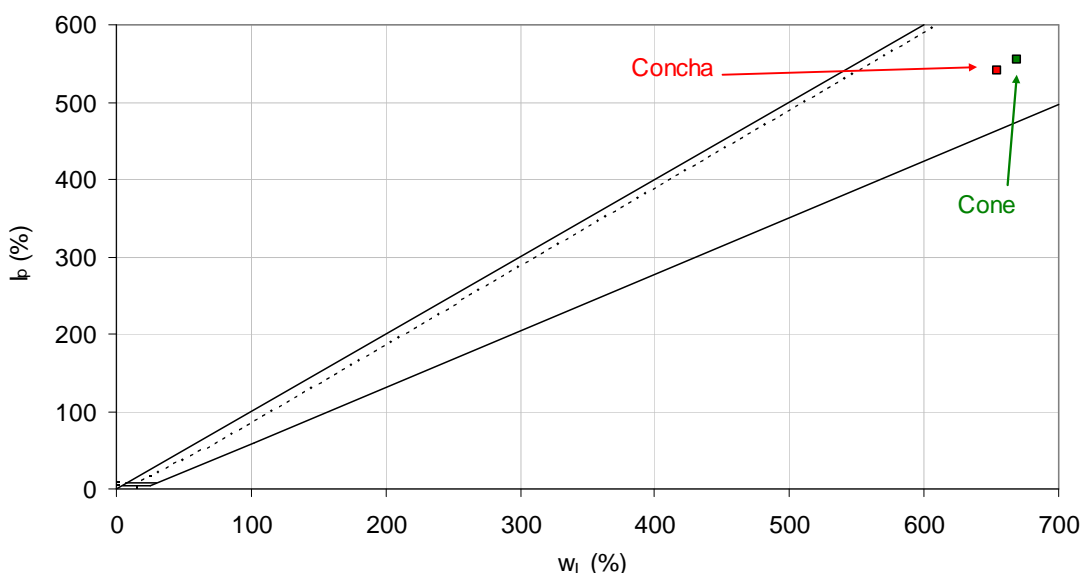


Figura 19 – Posicionamento da bentonite na Carta de Plasticidade

#### **4.13. ENSAIOS DE EXPANSIBILIDADE**

Os ensaios de expansibilidade decorreram no Laboratório de Caracterização de Geomateriais do Departamento de Geotecnia do LNEC.

#### **EQUIPAMENTO**

Para a realização deste ensaio foram utilizados dois aparelhos para determinação da expansibilidade e um pilão de compactação, de acordo com o prescrito na Especificação seguidamente indicada.

#### **PROCEDIMENTO**

O ensaio decorreu de acordo com a Especificação LNEC E 200 – 1967. Dada a expectável expansibilidade da bentonite foi colocada uma alonga no molde de modo a impedir o extravasamento do material do provete em fases adiantadas do ensaio (cf. Figura 20)



Figura 20 – Aspecto do aparelho com a alonga em posição

Com a preocupação de diminuir erros experimentais, optou-se por realizar dois ensaios em idênticas condições (vidé Figura 21), os quais decorreram ao longo de três meses.



Figura 21 – Aspecto da montagem experimental de ambos os ensaios

## RESULTADOS

Representam-se nas Figuras 22 e 23 as curvas cronológicas de expansão de ambos os ensaios. A expansão média relativa atingida no final do ensaio é de 217%. A incerteza associada aos resultados é de cinco milésimas de milímetro, valor correspondente a meia divisão da escala dos deflectómetros.

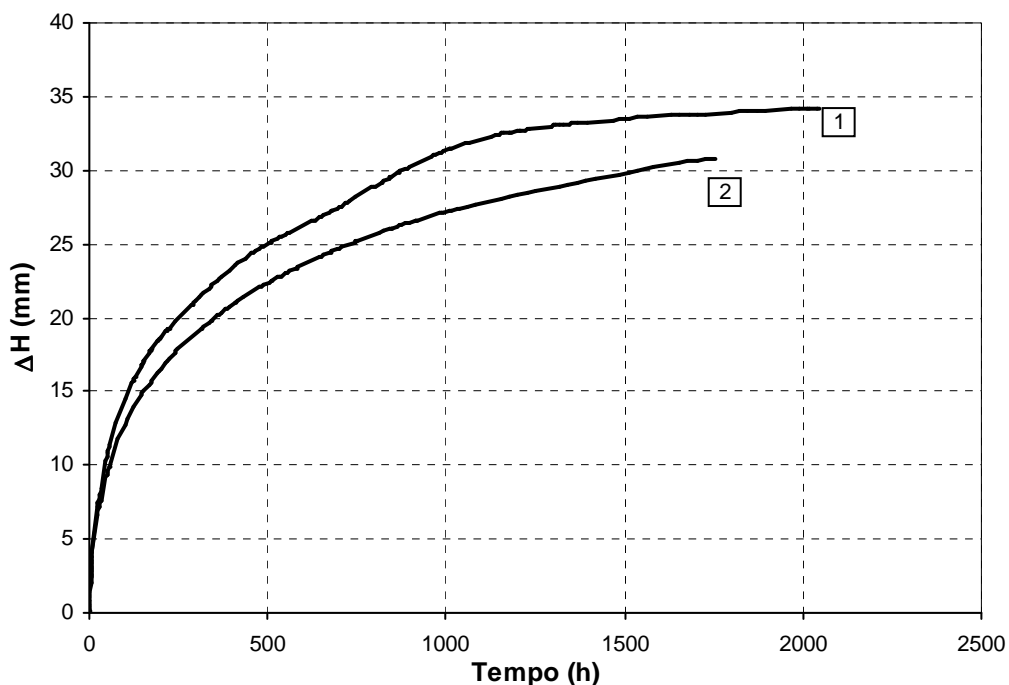


Figura 22 – Curvas cronológicas de expansão

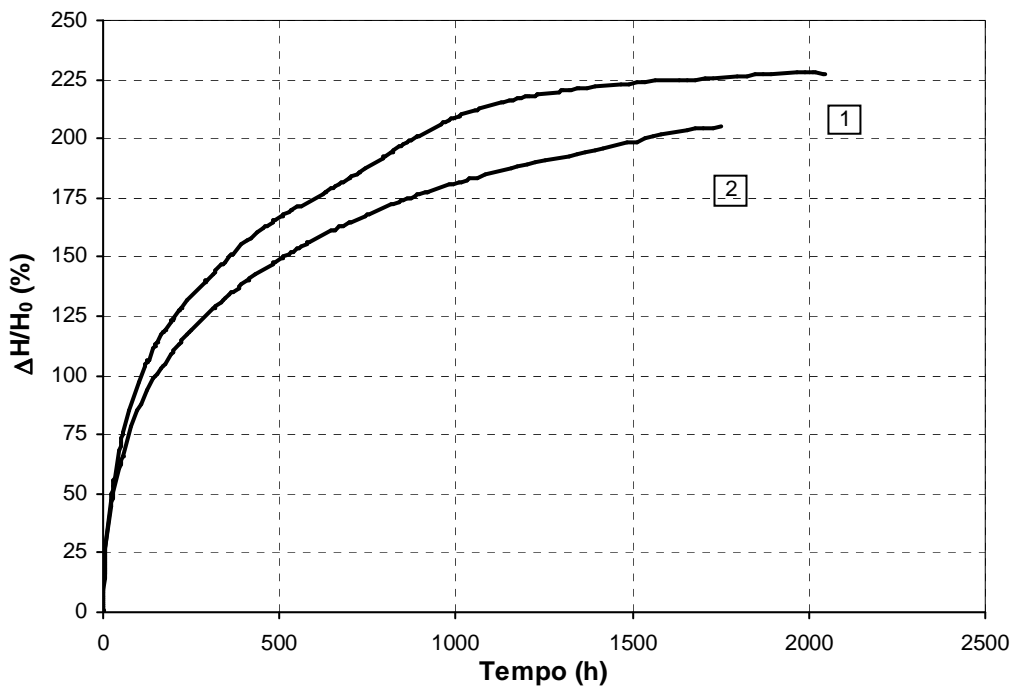


Figura 23 – Curvas cronológicas de expansão relativa

## Agradecimentos

Para além da colaboração exterior mencionada no início do Relatório, cumpre mencionar e agradecer a colaboração dos técnicos do LNEC João Balsinha (DM/NB), António Cardoso (DG/NBOA), Susana Couto (DM/NMM), Amílcar Gonçalves (DG/NBOA), Luís Nunes (DM/NBC), Amélia Reis (DG/NBOA), do Estagiário Jair Rodrigues (DG/NBOA) e dos Investigadores António Roque (DG/NGEA) e Santos Silva (DM/NMM).

## REFERÊNCIAS BIBLIOGRÁFICAS

### ESPECIFICAÇÕES OU NORMAS

Especificação LNEC E 64-1979, Cimentos – Determinação da Massa Volúmica.

Norma Portuguesa, NP-83 de 1965, Solos – Determinação da Densidade Partículas.

Norma Francesa NF P 94-068 de 1993 – Mesure de la quantité et de l'activité de la fraction argileuse.

Norma Portuguesa, NP-143 de 1963 – Limites de Consistência.

British Standard, BS 1377:Part 2:1990 - Liquid Limit Fall Cone.

Especificação LNEC E 200-1967 – Solos – Ensaio de Expansibilidade.

Norma ISO13320-1:1999 – Particle size analysis. Laser diffraction methods. General principles.

### OBRAS BIBLIOGRÁFICAS

Bello, Jorge Alejo Pinzon (1997). "Superficie Especifica de una Bentonita mediante la adsorcion de Azul de Metileno". Revista Colombiana de Química(1997) Volume 26, nº 1.

Galhano, António Carlos (1999). "Relações entre as Propriedades Geotécnicas, Mineralógicas e Geoquímicas das Argilas e Lodos da Região de Aveiro", Dissertação de Mestrado apresentada à Universidade de Aveiro.

Gomes, Celso Figueiredo (1988). "Argilas o que são e para que servem". Fundação Callouste Gulbenkian.

Kortum, G. (1969) "Reflectance Spectroscopy, Principles, Methods, Applications" Springer-Verlag, Berlin

Lapa, A.J.R. (1965). "A Bentonite". Separata do Vol. 2, nº4, do Boletim de Minas.

Mineral Powder Diffraction File. Data Book. Published by the JCPDS. International Centre for Diffraction Data.

### SÍTIOS NA INTERNET

Sítio, <http://www.webmineral.com> – Consulta efectuada entre Março e Outubro de 2007

Sítio, <http://www.malvern.com> – Malvern Instruments

Lisboa e Laboratório Nacional de Engenharia Civil, em Dezembro de 2007

Vistos

Autoria

O Chefe do Núcleo de Túneis



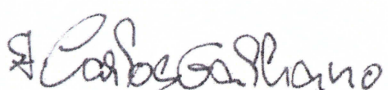
João Bilé Serra



Karino Amade  
Engenheiro Geólogo  
Estagiário do Núcleo de Túneis

  
O Director do Departamento de Geotecnia

Carlos Pina



A. Carlos Galhano  
Engenheiro Geólogo  
Assistente da  
Faculdade de Ciências e Tecnologia da  
Universidade Nova de Lisboa



João Bilé Serra  
Investigador Principal



# ANEXO

Boletins de Ensaio

Página propositadamente em branco

Boletim de ensaio da análise granulométrica. (Departamento de Geologia da FCL)



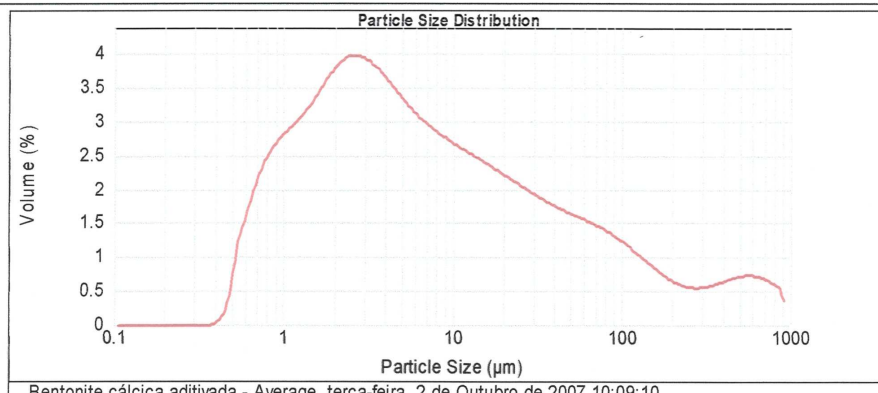
MASTERSIZER 2000

### Result Analysis Report

<b>Sample Name:</b>	<b>SOP Name:</b>	<b>Measured:</b>
Bentonite cárcea aditivada - Average		terça-feira, 2 de Outubro de 2007 10:09:10
<b>Sample Source &amp; type:</b>	<b>Measured by:</b>	<b>Analysed:</b>
	Administrador	terça-feira, 2 de Outubro de 2007 10:09:11
<b>Sample bulk lot ref:</b>	<b>Result Source:</b>	
	Averaged	

<b>Particle Name:</b> Default	<b>Accessory Name:</b> Hydro 2000MU (A)	<b>Analysis model:</b> General purpose	<b>Sensitivity:</b> Normal
<b>Particle RI:</b> 1.520	<b>Absorption:</b> 0.1	<b>Size range:</b> 0.100 to 1000.000 um	<b>Obscurasion:</b> 13.37 %
<b>Dispersant Name:</b> Water	<b>Dispersant RI:</b> 1.330	<b>Weighted Residual:</b> 1.294 %	<b>Result Emulation:</b> Off
<b>Concentration:</b> 0.0064 %Vol	<b>Span :</b> 18.255	<b>Uniformity:</b> 7.9	<b>Result units:</b> Volume
<b>Specific Surface Area:</b> 2.05 m <sup>2</sup> /g	<b>Surface Weighted Mean D[3,2]:</b> 2.920 um	<b>Vol. Weighted Mean D[4,3]:</b> 48.274 um	

d(0.1): 1.032 um      d(0.5): 5.808 um      d(0.9): 107.051 um



Bentonite cárcea aditivada - Average, terça-feira, 2 de Outubro de 2007 10:09:10

Size (um)	Volume In %								
0.100	0.00	0.538	0.89	2.900	2.55	15.614	1.52	84.081	0.86
0.110	0.00	0.595	1.11	3.202	2.49	17.240	1.48	92.835	0.82
0.122	0.00	0.656	1.34	3.535	2.42	19.035	1.44	102.499	0.76
0.135	0.00	0.725	1.52	3.903	2.34	21.016	1.39	113.170	0.71
0.149	0.00	0.800	1.65	4.309	2.25	23.204	1.35	124.952	0.65
0.164	0.00	0.884	1.65	4.758	2.15	25.620	1.30	137.960	0.58
0.181	0.00	0.976	1.75	5.253	2.17	28.287	1.30	152.322	0.53
0.200	0.00	1.077	1.83	5.800	2.08	31.232	1.21	168.179	0.48
0.221	0.00	1.189	1.90	6.404	1.94	34.483	1.17	185.688	0.43
0.244	0.00	1.313	1.97	7.070	1.94	38.073	1.14	205.019	0.43
0.269	0.00	1.450	2.05	7.806	1.88	42.037	1.14	226.362	0.39
0.297	0.00	1.601	2.15	8.619	1.83	46.413	1.10	249.927	0.37
0.328	0.00	1.767	2.27	9.516	1.78	51.245	1.07	275.946	0.36
0.362	0.00	1.951	2.37	10.507	1.74	56.580	1.04	304.673	0.35
0.400	0.04	2.154	2.47	11.601	1.69	62.470	1.01	336.391	0.36
0.442	0.13	2.379	2.57	12.809	1.61	68.973	0.98	371.411	0.40
0.488	0.13	2.626	2.57	14.142	1.57	76.154	0.94	410.077	0.43
0.538	0.53	2.900	2.57	15.614	1.57	84.081	0.91	452.768	0.43

**Operator notes:**

Malvern Instruments Ltd.  
Malvern, UK  
Tel : +44(0) 1684-892456 Fax +44(0) 1684-892789

Mastersizer 2000 E Ver. 5.20  
Serial Number : MAL101288

File name: LNEC  
Record Number: 12  
02 Out 2007 10:14:01

Boletim de ensaio de determinação da massa volúmica (Departamento de Materiais do LNEC)



**Laboratório Nacional de Engenharia Civil, I.P.**

Departamento de Materiais  
Núcleo de Betões

Data do boletim: 2007-10-23

Data do pedido: 2007-10-15

Requerente:

LNEC, I.P. – Laboratório Nacional de Engenharia Civil

Obra: DG/NT– Mod. 4 n.º 230200 de 2007-10-15

Boletim nº B1932NB07

Pág. 1 de 1

Pedido nº 1872NB 07

Visto

*Ahoy*  
*Adilia Pereira T. Rocha*

**MASSA VOLÚMICA**

**1 – INTRODUÇÃO**

O DG/NT, entregou no DM/NB duas amostras de partículas sólidas para a realização de ensaio de Massa Volúmica.

**2 – CONDIÇÕES DE ENSAIO**

Os ensaios foram realizados de acordo com os seguintes documentos normativos:

Massa volúmica, LNEC E 64: 1979

**3 – RESULTADOS OBTIDOS**

Identificação da amostra	Determinações	Resultados
BENTÔNITE SÓDICA	massa volúmica ( $\text{g.cm}^{-3}$ )	2,67
BENTÔNITE CÁLCICA ADITIVADA		2,43

O Chefe de Núcleo

Eng. Arlindo Gonçalves

LNEC,I.P./DM  
Av. do Brasil, 101 1700-066 LISBOA • Portugal  
Tel. +351.21.844 32 21 Fax +351.21.844 30 23  
Pess. Colectiva 501 389 660

Não é permitida a divulgação parcial dos resultados constantes deste Boletim na qual se faça referência ao LNEC, a não ser que seja obtida expressa autorização. Salvo indicação em contrário, os elementos identificadores das amostras ensaiadas são simples transcrição de informações recebidas ou de anotações apostas enviadas, não sendo por isso da responsabilidade do LNEC. Os resultados só são válidos para os itens ensaiados.

# Boletim de ensaio da análise mineralógica por difractometria por raios X da amostra integral.

(Departamento de Materiais do LNEC)



## LABORATÓRIO NACIONAL DE ENGENHARIA CIVIL, I.P.

### Departamento de Materiais

Núcleo de Materiais Metálicos

Laboratório de Ensaios de Materiais e Revestimentos Inorgânicos

Boletim nº	B111NM07
Pág.	1/4
Pedido nº	013 NM 07
Visto	

Cliente

DG/NT

Vº. Refº

Mod. 4 nº 230 1555 de 2007-01-26

(Este boletim anula e substitui o boletim 047NM07)

## ANÁLISE MINERALÓGICA POR DIFRACTOMETRIA DE RAIOS X

### 1 - AMOSTRAS

Para análise mineralógica por difractometria de raios X foram recebidas duas amostras de bentonites que vinham devidamente identificadas e que foram referenciadas por:

- Amostra 013NM07/01 – Bentonite sódica;
- Amostra 013NM07/02 – Bentonite cálcica.

### 2 – CONDIÇÕES DE ENSAIO

Foram efectuados os registos difractométricos de raios X (difractogramas) das amostras, antes e depois tratamento com etilenoglicol, utilizando a radiação  $K\alpha$  do cobalto produzida por uma unidade de difracção de raios X, nas seguintes condições de ensaio: varrimento entre 3 e  $74^\circ 20'$ ; velocidade de varrimento de  $0,05^\circ 20'/s$ ; tensão e corrente de filamento, respectivamente, de 35 kV e 45 mA.

### 3 – RESULTADOS

Nas figuras 1 a 3 apresentam-se os registos difractométricos obtidos. Como se pode verificar da figura 1, as duas amostras são essencialmente constituídas por esmectite, possivelmente beidelite, ( $Na_{0,3}Al_2(Si,Al)_4O_{10}(OH)_2 \cdot 2H_2O$ ). Para além da esmectite os minerais comuns às duas amostras são quartzo ( $SiO_2$ ) e calcite ( $CaCO_3$ ).

**LNEC, I.P./DM**  
Av. do Brasil, 101, 1700-066 LISBOA • Portugal  
Tel. +351.21.844 30 00 • Fax +351.21.844 30 23  
Pess. Colectiva 501 389 660

Não é permitida a divulgação parcial dos resultados constantes deste Boletim na qual se faça referência ao LNEC, a não ser que seja obtida expressa autorização. Salvo indicação em contrário, os elementos identificadores das amostras ensaiadas são simples transcrição de informações recebidas ou de anotações apostas enviadas, não sendo por isso da responsabilidade do LNEC. Os resultados só são válidos para os itens ensaiados.

**LABORATÓRIO NACIONAL DE ENGENHARIA CIVIL, I.P.**

**Departamento de Materiais**

Núcleo de Materiais Metálicos

Laboratório de Ensaios de Materiais e Revestimentos Inorgânicos

Boletim nº B111NM07

Pág. 2/4

Pedido nº 013 NM 07

Visto

*Adélia Tonita F. Rocha*

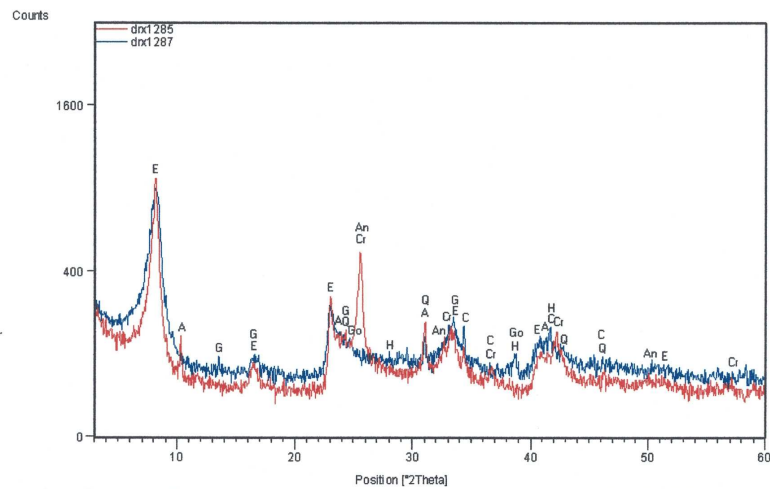


Figura 1 – Registos difractométricos das amostras 013NM07/01 (Azul) e 013NM07/02 (Vermelho).  
Notação: E – Esmectite; A – Aloisite; G – Gesso; Q – Quartzo; Go – Goetite; Cr – Cristobalite; H – Hematite; C – Calcite; An – Anortite.

Na amostra 013NM07/01, figura 2, foram ainda identificados os minerais gesso ( $\text{CaSO}_4 \cdot 2\text{H}_2\text{O}$ ), hematite ( $\text{Fe}_2\text{O}_3$ ) e goetite ( $\text{FeO} \cdot \text{OH}$ ). Na mesma amostra tratada com etilenoglicol apenas se verifica a expansão da esmectite, com valor inicial de  $12,5\text{\AA}$  que passou para  $16,5\text{\AA}$ .

**LABORATÓRIO NACIONAL DE ENGENHARIA CIVIL, I.P.**

**Departamento de Materiais**

Núcleo de Materiais Metálicos

Laboratório de Ensaios de Materiais e Revestimentos Inorgânicos

Boletim nº B111NM07

Pág. 3/4

Pedido nº 013 NM 07

Visto

*Adélia Tavares F. Ribeiro*

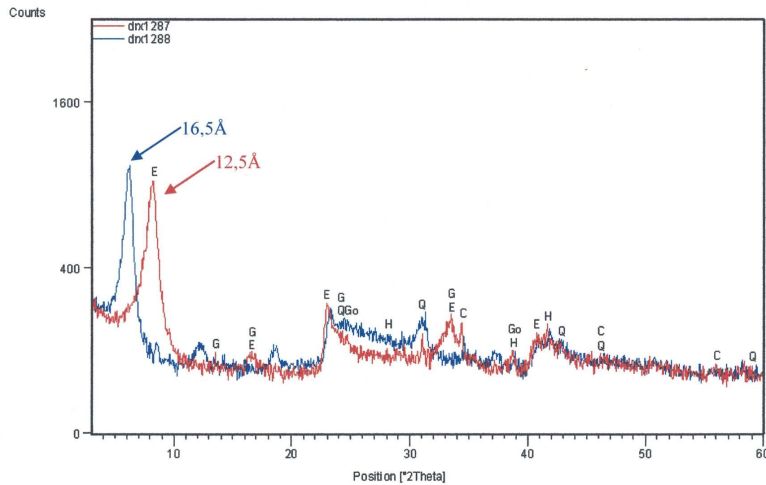


Figura 2 – Registos difractométricos da amostra 013NM07/01 (vermelho – tal qual; azul – glicolado)  
Notação: E – Esmectite; G – Gesso; Q – Quartzo; Go – Goetite; H – Hematite; C – Calcite.

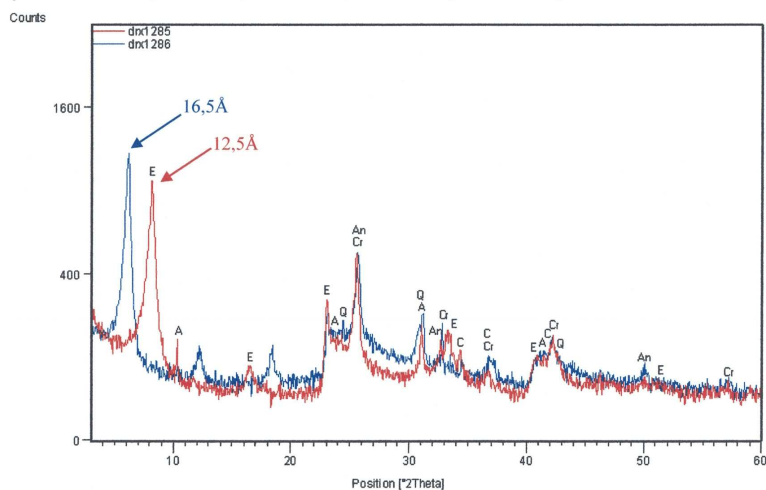


Figura 3 – Registos difractométricos da amostra 013NM07/02 (vermelho – tal qual; azul – glicolado). Notação:  
E – Esmectite; A – Aloisite; Q – Quartz; An – Anortite; Cr – Cristobalite; C – Calcite.

**LNEC, I.P./DM**  
Av. do Brasil, 101, 1700-066 LISBOA • Portugal  
Tel. +351.21.844 30 00 • Fax +351.21.844 30 23  
Pess. Colectiva 501 389 660

**LABORATÓRIO NACIONAL DE ENGENHARIA CIVIL, I.P.**

**Departamento de Materiais**

Núcleo de Materiais Metálicos

Laboratório de Ensaios de Materiais e Revestimentos Inorgânicos

Boletim nº	B111NM07
Pág.	4/4
Pedido nº	013 NM 07
Visto	

Na amostra 013NM07/02, figura 3, foram ainda identificados os minerais aloisite ( $\text{Al}_2\text{Si}_2\text{O}_5(\text{OH})_4 \cdot 2\text{H}_2\text{O}$ ), cristobalite ( $\text{SiO}_2$ ) e anortite ( $\text{CaAl}_2\text{Si}_2\text{O}_8$ ). Na mesma amostra tratada com etilenoglicol apenas se verifica a expansão da esmectite, com valor inicial de 12,5 $\text{\AA}$  que passou para 16,5 $\text{\AA}$ .

Lisboa, 2007 -10- 22

O Técnico



Susana Couto

O Coordenador da Unidade de  
Análise Química e Microestrutural



A. Santos Silva

A Chefe do Núcleo de  
Materiais Metálicos



M. Manuela Salta

**LNEC, I.P./DM**  
Av. do Brasil, 101, 1700-066 LISBOA • Portugal  
Tel. +351.21.844 30 00 • Fax +351.21.844 30 23  
Pess. Colectiva 501 389 660

Boletim de ensaio da análise mineralógica por difractometria por raios X da fracção fina da amostra. (Departamento de Materiais do LNEC)



LABORATÓRIO NACIONAL DE ENGENHARIA CIVIL, I.P.

Departamento de Materiais

Núcleo de Materiais Metálicos

Laboratório de Ensaios de Materiais e Revestimentos Inorgânicos

Boletim nº	B107NM07
Pág.	1/3
Pedido nº	094 NM 07
Visto	

Cliente  
DG/NT

V.º Ref.  
Mod. 4 nº 230 155 de 2007-01-26

## ANÁLISE MINERALÓGICA POR DIFRACTOMETRIA DE RAIOS X

### 1 - AMOSTRAS

Para análise mineralógica por difractometria de raios X foram recebidas duas amostras de bentonites devidamente identificadas e que foram referenciadas por:

- Amostra 094NM07/01 – Bentonite sódica;
- Amostra 094NM07/02 – Bentonite cálcica.

As amostras foram entregues num suporte de vidro cilíndrico com as dimensões do porta-amostras do difractómetro.

### 2 – CONDIÇÕES DE ENSAIO

Foram efectuados os registos difractométricos de raios X (difractogramas) das amostras, antes e após tratamento com etilenoglicol, utilizando a radiação  $K\alpha$  do cobalto produzida por uma unidade de difracção de raios X, nas seguintes condições de ensaio: varrimento entre 3 e  $74^\circ 20$ ; velocidade de varrimento de  $0,05^\circ 20/s$ ; tensão e corrente de filamento, respectivamente, de 35 kV e 45 mA.

LNEC, I.P./DM  
Av. do Brasil, 101, 1700-066 LISBOA • Portugal  
Tel. +351.21.844 30 00 • Fax +351.21.844 30 23  
Pess. Colectiva 501 389 660

Não é permitida a divulgação parcial dos resultados constantes deste Boletim na qual se faça referência ao LNEC, a não ser que seja obtida expressa autorização. Salvo indicação em contrário, os elementos identificadores das amostras ensaiadas são simples transcrição de informações recebidas ou de anotações apostas envidadas, não sendo por isso da responsabilidade do LNEC. Os resultados só são válidos para os itens ensaiados.

**LABORATÓRIO NACIONAL DE ENGENHARIA CIVIL, I.P.****Departamento de Materiais**

Núcleo de Materiais Metálicos

Laboratório de Ensaios de Materiais e Revestimentos Inorgânicos

Boletim nº B107NM07

Pág. 2/3

Pedido nº 094 NM 07

Visto

*Adélia Pereira J. Rocha***3 – RESULTADOS**

Nas figuras 1 e 2 apresentam-se os registos difractométricos obtidos. Como se pode verificar das figuras 1 e 2, as duas amostras são essencialmente constituídas por esmectite do tipo cárca (Ca<sub>0,2</sub>Mg<sub>3</sub>(Si,Al)₄O<sub>10</sub>(OH)<sub>2</sub>.4H<sub>2</sub>O). Para além da esmectite o único mineral comum às duas amostras é a calcite (CaCO<sub>3</sub>).

Na amostra 094NM07/01, figura 1, foram ainda identificados os minerais: gesso (CaSO<sub>4</sub>.2H<sub>2</sub>O), caulinite (Al<sub>2</sub>Si<sub>2</sub>O<sub>5</sub>(OH)<sub>4</sub>) e hematite (Fe<sub>2</sub>O<sub>3</sub>). Na mesma amostra tratada com etilenoglicol apenas se verifica a expansão do mineral da família das esmectites, com valor inicial de 14,9 Å que passou para 16,9 Å.

Na amostra 094NM07/02, figura 2, foram também ainda identificados os minerais: aloisite (Al<sub>2</sub>Si<sub>2</sub>O<sub>5</sub>(OH)<sub>4</sub>.2H<sub>2</sub>O), cristobalite (SiO<sub>2</sub>), anortite (CaAl<sub>2</sub>Si<sub>2</sub>O<sub>8</sub>) e quartzo (SiO<sub>2</sub>). Na mesma amostra tratada com etilenoglicol apenas se verifica a expansão do mineral da família das esmectites, com valor inicial de 14,8 Å que passou para 16,9 Å.

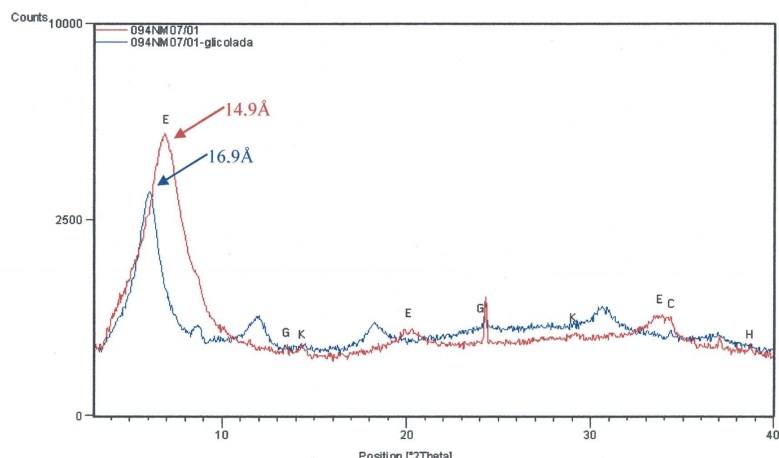


Figura 1 – Registos difractométricos da amostra 094NM07/01 (vermelho – tal qual; azul – glicolado). Notação: E – Esmectite; G – Gesso; K – Caulinita; C – Calcita; H – Hematita.

LNEC, I.P./DMC

Av. do Brasil, 101, 1700-066 LISBOA • Portugal

Tel. +351.21.844 30 00 • Fax +351.21.844 30 23

Pess. Colectiva 501 389 660

**LABORATÓRIO NACIONAL DE ENGENHARIA CIVIL, I.P.**

**Departamento de Materiais**

Núcleo de Materiais Metálicos

Laboratório de Ensaios de Materiais e Revestimentos Inorgânicos

Boletim nº	B107NM07
Pág.	3/3
Pedido nº	094 NM 07
Visto	<i>A. Santos Silva F. Rocha</i>

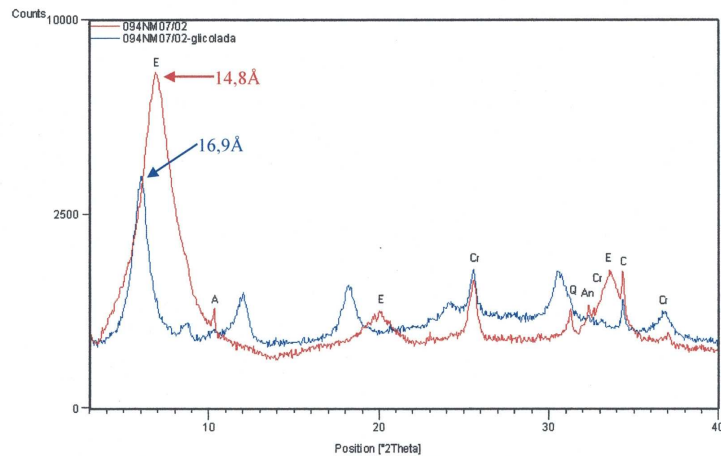


Figura 2 – Registos difractométricos da amostra 094NM07/02 (vermelho – tal qual; azul – glicolado).  
Notação: E – Esmectite; A – Aloisite; Q – Quartz; An – Anorthite; Cr – Cristobalite; C – Calcite.

Lisboa, 2007 -10- 16

O Técnico

*Susana Couto*

Susana Couto

O Coordenador da Unidade de  
Análise Química e Microestrutural

*A. Santos Silva*

A. Santos Silva

A Chefe do Núcleo de  
Materiais Metálicos

*M. Manuela Salta*

M. Manuela Salta

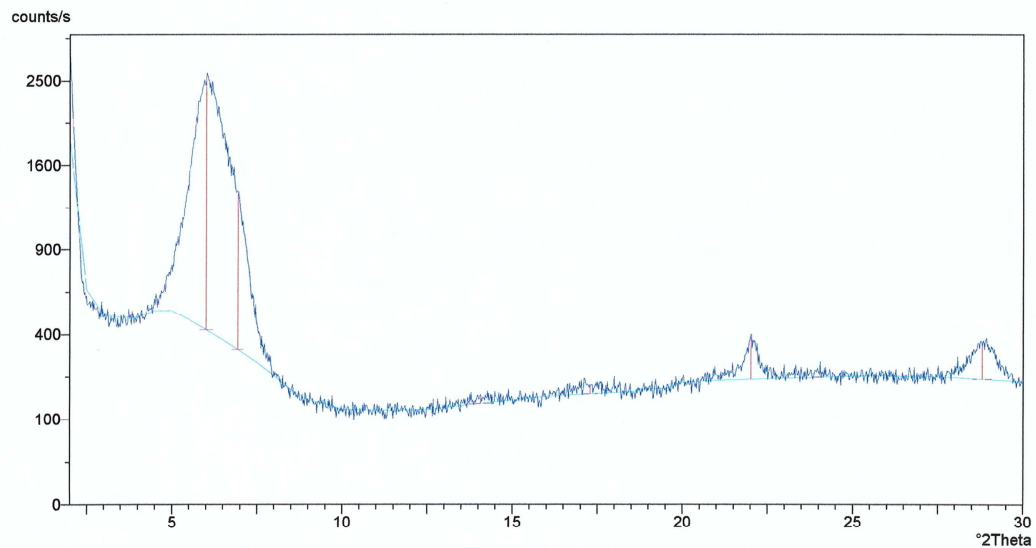
---

LNEC, I.P./DM  
Av. do Brasil, 101, 1700-066 LISBOA • Portugal  
Tel. +351.21.844 30 00 • Fax +351.21.844 30 23  
Pess. Colectiva 501 389 660

Boletim de ensaio da análise mineralógica por difractometria por raios X da fracção fina da amostra. (Departamento de Geologia da FC da UL)

X'Pert Graphics & Identify  
Graph: BentonCaAdit\_normal

Helder  
08-10-2007 11:42



Philips Analytical

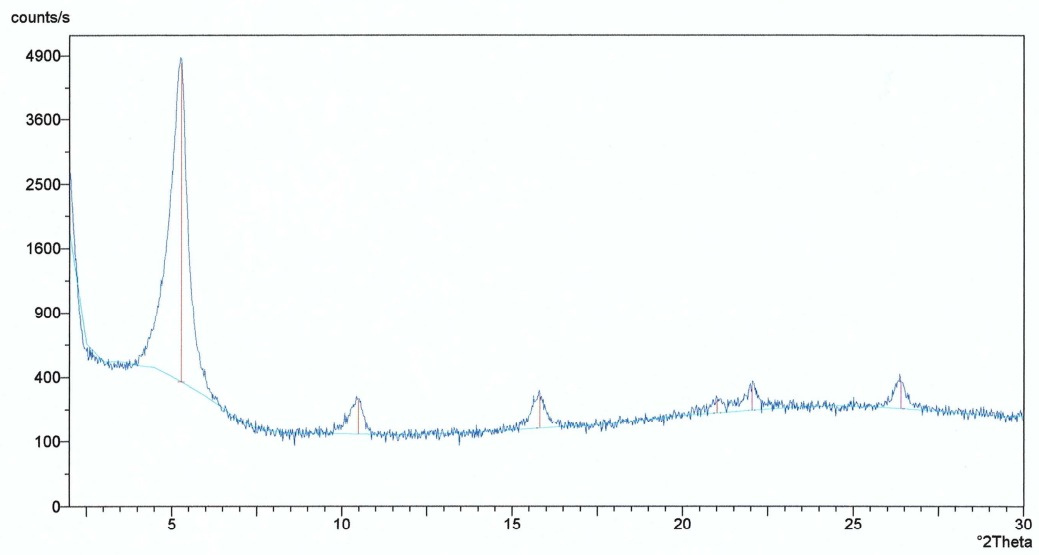
Original scan: BentonCaAdit\_normal Date: 08-10-2007 10:59  
Description of scan:

Used wavelength: K-Alpha1

K-Alpha1 wavelength (Å): 1,54056  
K-Alpha2 wavelength (Å): 1,54439  
K-Alpha2/K-Alpha1 intensity ratio : 0,50000  
K-Alpha wavelength (Å): 1,54056  
K-Beta wavelength (Å): 1,39222

**Peak search parameter set:** As Measured Intensities  
Set created: 14-01-2000 11:20  
Peak positions defined by: Minimum of 2nd derivative  
Minimum peak tip width (°2Theta): 0,00  
Minimum peak tip width (°2Theta): 1,00  
Peak base width (°2Theta): 2,00  
Minimum significance: 0,60

d-spacing (Å)	Relative Intensity (%)	Angle (°2Theta)	Peak Height (counts/s)	Background (counts/s)	Tip Width (°2Theta)	Significance
14,69896	100,00	6,00777	2118,54	424,04	0,40000	9,42
12,73983	47,80	6,93270	1012,68	334,29	0,32000	1,63
6,29135	0,67	14,06529	14,13	142,58	0,80000	0,67
5,12701	1,30	17,28163	27,65	170,67	0,48000	0,85
4,03400	8,07	22,01610	171,07	218,18	0,24000	2,50
3,69413	0,97	24,07066	20,51	226,31	0,48000	1,01
3,09671	6,69	28,80611	141,70	219,53	0,56000	4,82



Philips Analytical

Original scan: BentonCaAdit\_Glicolada Date: 10-10-2007 12:02  
 Description of scan:

Used wavelength: K-Alpha1

K-Alpha1 wavelength (Å): 1,54056  
 K-Alpha2 wavelength (Å): 1,54439  
 K-Alpha2/K-Alpha1 intensity ratio : 0,50000  
 K-Alpha wavelength (Å): 1,54056  
 K-Beta wavelength (Å): 1,39222

**Peak search parameter set:** As Measured Intensities  
 Set created: 14-01-2000 11:20  
 Peak positions defined by: Minimum of 2nd derivative  
 Minimum peak tip width (°2Theta): 0,00  
 Minimum peak tip width (°2Theta): 1,00  
 Peak base width (°2Theta): 2,00  
 Minimum significance: 0,60

d-spacing (Å)	Relative Intensity (%)	Angle (°2Theta)	Peak Height (counts/s)	Background (counts/s)	Tip Width (°2Theta)	Significance
16,69426	100,00	5,28918	4372,23	374,25	0,22000	27,39
8,43111	3,50	10,48389	153,17	124,35	0,24000	3,08
5,59895	3,52	15,81520	153,86	146,37	0,24000	2,13
4,22416	1,47	21,01344	64,37	211,36	0,24000	0,73
4,03060	3,02	22,03490	131,98	223,81	0,20000	1,77
3,37287	3,44	26,40283	150,41	232,25	0,24000	2,49
3,06713	0,27	29,09000	11,79	202,21	0,12000	0,65

## Determinação da superfície específica pelo MÉTODO BET. (Departamento de Materiais do LNEC)



### Laboratório Nacional de Engenharia Civil

Departamento de Materiais

Núcleo de Cimentos e Materiais Cerâmicos  
LERO - Laboratório de Ensaio de Rochas Ornamentais

Boletim nº B 14 CER 2007

Pág. 1/2

Pedido nº 13 CER 2007

Visto

*Adélia Ferreira J. Recha*

LNEC/DG/NT

Cliente  
LNEC/DG/NT

Vº Refº  
Mod. 4 nº 230168 de 2007-05-10

#### 1 – Identificação

Data de pedido: 2007-05-10

Data de recepção: 2007-05-15

Número de amostras recebidos: duas.

Identificação dos provetes: conforme Quadro 1.

Tipo de provetes: pó.

No Quadro 1 resumem-se os principais elementos referentes à identificação das amostras.

#### QUADRO 1 – Identificação das amostras

IDENTIFICAÇÃO DO CLIENTE	IDENTIFICAÇÃO DO LERO
Amostra A – bentonite natural	13/2007-A
Amostra B – bentonite aditivada (acrilato de sódio)	13/2007-B

#### 2 - Ensaios realizados e resultados obtidos

##### Determinação da superfície específica pelo método BET

Data da realização do ensaio: 2007-05-22 a 2007-06-06.

As amostras foram previamente secas a  $60^{\circ}\text{C} \pm 2^{\circ}\text{C}$  até massa constante

O ensaio foi realizado segundo o procedimento de ensaio LERO PE-14, segundo a especificação LNEC E412-1993, usando cinco pontos para determinação da recta de BET. Os resultados apresentam-se no Quadro 2.

**LNEC/DM**  
Av. do Brasil, 101 - P 1700-066 LISBOA - Portugal  
Tel. +351.21.844 32 21 - Fax +351.21.844 30 23  
Nº de Pessoa Colectiva: 501 389 660

Não é permitida a divulgação parcial dos resultados constantes deste Boletim na qual se faça referência ao LNEC, a não ser que seja obtida expressa autorização. Salvo indicação em contrário, os elementos identificadores das amostras ensaiadas são simples transcrições de informações recebidas ou de anotações apostas enviadas, não sendo por isso da responsabilidade do LNEC. Os resultados só são válidos para os itens ensaiados.

## Laboratório Nacional de Engenharia Civil

Departamento de Materiais

Núcleo de Cimentos e Materiais Cerâmicos  
LERO - Laboratório de Ensaio de Rochas Ornamentais

Boletim nº B 14 CER 2007

Pág. 2 / 2

Pedido nº 13 CER 2007

Visto

  
Adília Ferreira F. Socha

### QUADRO 2 - Resultados obtidos

Amostra	Superfície específica BET (m <sup>2</sup> g <sup>-1</sup> )
13/2007-A1	23,43
13/2007-A2	37,35
13/2007-A3	29,79
13/2007-B1	34,50
13/2007-B2	32,53

NOTA: Foi realizado um terceiro ensaio sobre a amostra A para esclarecer se a diferença entre os dois primeiros valores obtidos se deve à possível heterogeneidade da amostra.

ln

Lisboa, 08 de Junho de 2007

O Responsável do LERO



Luís Nunes  
Técnico Especialista Principal

 O CHEFE DO NCMC



Décio Alcaic Rodrigues Coelho  
João Manuel Mimoso  
Investigador Coordenador

Determinação da superfície específica de acordo com a NORMA NF P 94-068.

(Departamento de Geotecnia do LNEC)

	Laboratório Nacional de Engenharia Civil Departamento de Geotecnia Núcleo de Geologia de Engenharia	LGAm - Laboratório de Geotecnia Ambiental	
<b>Ensaio do Azul de Metileno</b> NF P 94-068			
Ref. <sup>a</sup> Amostra <b>18 (Ref.Ext:A)</b>	Data <b>23-07-2007</b>		
<b>1. Teor em água (<i>w</i>) do solo (fracção 0/5mm)</b>			
$m$	Peso da cápsula (g)	18,05	
$m_1$	Massa húmida do solo+cápsula (g)	23,63	
$m_2$	Massa seca do solo+cápsula (g)	23,08	
$w = \frac{m_1 - m_2}{m_2 - m}$	$w =$	0,1093	
<b>2. Massa seca (<math>m_0</math>) do solo (fracção 0/5mm)</b>			
$m$	Peso da cápsula (g)	15,63	
$m_3$	Massa húmida do solo+cápsula (g)	21,20	
$m_0 = \frac{m_3 - m}{1 + w}$	$m_0 =$	5,02 g	
<b>3. Massa do azul de metileno (<i>B</i>) introduzido</b>			
$V$	Volume de azul de metileno (ml)	165,0	
$B = V \times 0,01$	$B =$	1,65 g	
<b>4. Valor do azul de metileno (<i>VBS</i>) do solo (fracção 0/5mm)</b>			
$VBS = \frac{B}{m_0} \times 100$	$VBS =$	32,86	
<b>OBSERVAÇÕES:</b>			
1) Entidade requisitante: NBOA - Núcleo de Barragens e Obras de Aterro.			
2) V. Pedido: Processo Nº 506/01/16680, Modelo 4 Nº 230169 de 2007/06/12.			
3) Amostra total fornecida ao LGAm: 75 g; O volume de água destilada exigida na NF P 94-068 é de 500 ± 10 ml. No ensaio realizado foi necessário utilizarem-se 800 ml de água destilada.			
Ensaio:	<u>DEL</u>	Verificou:	<u>Antônio R.F.</u>

Determinação do limite de liquidez segundo a Norma LNEC NP-143. (Departamento de Geotecnia do LNEC)

MINISTÉRIO DO EQUIPAMENTO SOCIAL E DO AMBIENTE LABORATORIO NACIONAL DE ENGENHARIA CIVIL II SERVIÇO SECÇÃO DE FUNDAÇÕES																																								
BENTONITE SIZ JUÍZA (BRANCA) Processo N° _____ Amostra N° _____																																								
LIMITE DE LIQUIDEZ																																								
<table border="1" style="width: 100%; border-collapse: collapse;"> <tr><td>Cápsula (Nº)</td><td>A9</td><td>119</td><td>19A</td><td>A72</td></tr> <tr><td>Amostra hum.+cápsula (g)</td><td>9,44</td><td>9,20</td><td>9,70</td><td>9,74</td></tr> <tr><td>Amostra seca+cápsula (g)</td><td>4,09</td><td>4,08</td><td>4,13</td><td>4,06</td></tr> <tr><td>Peso da cápsula (g)</td><td>3,25</td><td>3,29</td><td>3,29</td><td>3,22</td></tr> <tr><td>Peso de água (g)</td><td>5,35</td><td>5,12</td><td>5,57</td><td>5,68</td></tr> <tr><td>Amostra seca (g)</td><td>0,84</td><td>0,79</td><td>0,84</td><td>0,84</td></tr> <tr><td>Teores de humidade (%)</td><td>636,9</td><td>648,1</td><td>663,1</td><td>676,2</td></tr> <tr><td>Nº de golpes</td><td>42</td><td>30</td><td>22</td><td>11</td></tr> </table>	Cápsula (Nº)	A9	119	19A	A72	Amostra hum.+cápsula (g)	9,44	9,20	9,70	9,74	Amostra seca+cápsula (g)	4,09	4,08	4,13	4,06	Peso da cápsula (g)	3,25	3,29	3,29	3,22	Peso de água (g)	5,35	5,12	5,57	5,68	Amostra seca (g)	0,84	0,79	0,84	0,84	Teores de humidade (%)	636,9	648,1	663,1	676,2	Nº de golpes	42	30	22	11
Cápsula (Nº)	A9	119	19A	A72																																				
Amostra hum.+cápsula (g)	9,44	9,20	9,70	9,74																																				
Amostra seca+cápsula (g)	4,09	4,08	4,13	4,06																																				
Peso da cápsula (g)	3,25	3,29	3,29	3,22																																				
Peso de água (g)	5,35	5,12	5,57	5,68																																				
Amostra seca (g)	0,84	0,79	0,84	0,84																																				
Teores de humidade (%)	636,9	648,1	663,1	676,2																																				
Nº de golpes	42	30	22	11																																				
DIAGRAMA																																								
LIMITE DE PLASTICIDADE																																								
<table border="1" style="width: 100%; border-collapse: collapse;"> <tr><td>Cápsula (Nº)</td><td>121</td><td>66</td></tr> <tr><td>Amostra hum.+cápsula (g)</td><td>6,52</td><td>6,46</td></tr> <tr><td>Amostra seca+cápsula (g)</td><td>4,84</td><td>4,69</td></tr> <tr><td>Peso da cápsula (g)</td><td>3,32</td><td>3,19</td></tr> <tr><td>Peso de água (g)</td><td>1,68</td><td>1,77</td></tr> <tr><td>Amostra seca (g)</td><td>1,52</td><td>1,50</td></tr> <tr><td>Teor de humidade (%)</td><td>110,5</td><td>118</td></tr> <tr><td>Teor de hum. médio (%)</td><td colspan="2">114,3</td></tr> </table>	Cápsula (Nº)	121	66	Amostra hum.+cápsula (g)	6,52	6,46	Amostra seca+cápsula (g)	4,84	4,69	Peso da cápsula (g)	3,32	3,19	Peso de água (g)	1,68	1,77	Amostra seca (g)	1,52	1,50	Teor de humidade (%)	110,5	118	Teor de hum. médio (%)	114,3																	
Cápsula (Nº)	121	66																																						
Amostra hum.+cápsula (g)	6,52	6,46																																						
Amostra seca+cápsula (g)	4,84	4,69																																						
Peso da cápsula (g)	3,32	3,19																																						
Peso de água (g)	1,68	1,77																																						
Amostra seca (g)	1,52	1,50																																						
Teor de humidade (%)	110,5	118																																						
Teor de hum. médio (%)	114,3																																							
LIMITE DE RETRACÇÃO																																								
<table border="1" style="width: 100%; border-collapse: collapse;"> <tr><td>Cápsula (Nº)</td><td>Volume da capsula V</td></tr> <tr><td>Amostra hum.+cápsula (g)</td><td>Volume do solo seco V<sub>0</sub></td></tr> <tr><td>Amostra seca+cápsula (g)</td><td>V - V<sub>0</sub></td></tr> <tr><td>Peso da cápsula (g)</td><td><math>A = \frac{V - V_0}{P_s} \times 100</math></td></tr> <tr><td>Peso de água (g)</td><td>Limite de retracção W-A</td></tr> <tr><td>Amostra seca - P<sub>s</sub> - (g)</td><td>Razão de retracção P<sub>s</sub>/V<sub>0</sub></td></tr> <tr><td>Teor de humidade - W - (%)</td><td></td></tr> </table>	Cápsula (Nº)	Volume da capsula V	Amostra hum.+cápsula (g)	Volume do solo seco V <sub>0</sub>	Amostra seca+cápsula (g)	V - V <sub>0</sub>	Peso da cápsula (g)	$A = \frac{V - V_0}{P_s} \times 100$	Peso de água (g)	Limite de retracção W-A	Amostra seca - P <sub>s</sub> - (g)	Razão de retracção P <sub>s</sub> /V <sub>0</sub>	Teor de humidade - W - (%)																											
Cápsula (Nº)	Volume da capsula V																																							
Amostra hum.+cápsula (g)	Volume do solo seco V <sub>0</sub>																																							
Amostra seca+cápsula (g)	V - V <sub>0</sub>																																							
Peso da cápsula (g)	$A = \frac{V - V_0}{P_s} \times 100$																																							
Peso de água (g)	Limite de retracção W-A																																							
Amostra seca - P <sub>s</sub> - (g)	Razão de retracção P <sub>s</sub> /V <sub>0</sub>																																							
Teor de humidade - W - (%)																																								
RESUMO																																								
<table border="1" style="width: 100%; border-collapse: collapse;"> <tr><td>LL (%)</td><td>655</td><td>LP (%)</td><td>114,3</td><td>IP</td><td>541</td><td>LR (%)</td></tr> </table>	LL (%)	655	LP (%)	114,3	IP	541	LR (%)																																	
LL (%)	655	LP (%)	114,3	IP	541	LR (%)																																		
Data 07/04/18 Ensaíou _____ Verificou _____																																								

Determinação do limite de liquidez segundo a Norma BS 1377:Part 2:1990. (Departamento de Geotecnia do LNEC)

MINISTÉRIO DAS OBRAS PÚBLICAS, TRANSPORTES E HABITAÇÃO  
**Laboratório Nacional de Engenharia Civil**  
DEPARTAMENTO DE GEOTECNIA  
NBOA

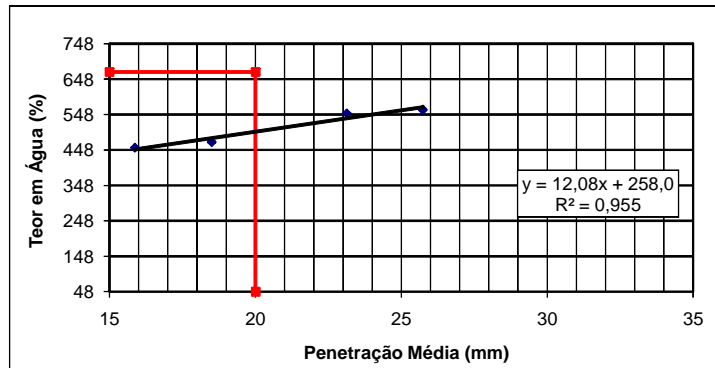
**Limite de Liquidez - Cone de Penetração**  
BS 1377: Part 2: 1990

Amostra N.<sup>º</sup> : Bentonite Cálcica

Data: 11.06.2007

Referência	Cápsula (g)	Cáp+Am Humida (g)	Cáp + Am Seca (g)	Teor em Água (%)
A 173	10,43	39,02	14,75	561,8
A 4	10,13	47,89	16,94	454,5
37	9,13	41,52	14,81	470,2
161	9,22	31,18	12,59	551,6

Penetrações	A 173	A 4	37	161
1 <sup>a</sup>	25,8	16,0	18,6	23,1
2 <sup>a</sup>	25,8	15,8	18,4	23,1
3 <sup>a</sup>	25,6	15,8	18,5	23,2
Média	25,7	15,9	18,5	23,1



Equação do gráfico	20,541	258,04
--------------------	--------	--------

Limite de Liquidez (LL): 668,86

Limite de Plasticidade (LP): 114,3

Índice de Plasticidade (IP): 554,56

Ensaiou:

Verificou:

